

(36) 非線形模型軟弱地盤中の基礎の振動実験

国鉄・構造物設計事務所 正員 西村 昭彦

1. まえがき

地震時の軟弱地盤の等動および基礎との動的相互作用の検討をするため、振動台上に模型軟弱地盤および基礎を作成し、静的載荷試験および振動実験を行なった。試験は軟弱地盤が線形の場合と非線形を有する場合を行なつたが、線形の場合はすでに報告したので、ここでは非線形の場合について報告する。¹⁾

2. 実験の概要

実験を行なうにあたって、まず模型地盤の材料について検討した。地盤には非線形性をもたせるため、アクリルアミド系の注入剤に砂を混入して作成した。配合は既定のせん断弾性波速度が得られるよう試行練りを行なって決定した。次に模型の大きさを検討し、表-1のように決定した。

模型地盤は、まず地盤材料をミキサーで攪拌し、液状にして土槽へコンクリートポンプで打設して製作した。そして模型基礎はその土槽の中に設置した。模型地盤および基礎の大きさを図-1に示す。基礎は単杭、群杭、ゲーテンの3種類とし、いずれも地盤中央に設置した。図-1はそのうち群杭の場合であるが、他の場合も地盤の大きさ、配合は同一である。この地盤および基礎に対し、静的載荷試験、振動台加振実験、起振機加振実験を行ない、地盤の固有振動数、振動モード、基礎に生ずる変形応力等を測定した。

また、地盤の非線形性を見るために、振動台加振実験では、入力加速度の大きさを変化させて実験を行なった。ここでは紙面の都合で群杭のケースについて述べる。

3. 実験結果

3.1 地盤の変形係数

模型地盤の変形係数(E_0)の値を求めるため、平板載荷試験、せん断弾性波速度等の各種試験を行なった。それから得られた E_0 の値を表-2に示す。また表層、基盤層とも非線形性があるため動的ひずみせん断試験を行なって重依存性を調べた。その結果を図-2に示す。この結果、表層、基盤層と力が大きくなるとせん断剛性率が低下して、くことがわかる。

3.2 振動台加振実験結果

地盤の非線形性を見るため、振動台の入力加速度を20,

表-1 模型諸元一覧表

物理量	実物	相似率	理想模型	想定模型	備考
H	10 m	1 / 16	62.5 cm	64.0 cm	日東SS30+砂
V_{S1} (表層)	75~95 m/sec	1 / 4	18.8~23.8 m/sec	20 m/sec	P.S検査による
V_{S2} (支持層)	> 250 m/sec	1 / 4	> 62.5 m/sec	60 m/sec	P.S検査による
r_{D1} (表層)	1.6 g/cm	1	1.6 g/cm	1.6 g/cm	
r_{D2} (支持層)	1.7 g/cm	1	1.7 g/cm	1.7 g/cm	
f_1	2.0 Hz	4	8.0 Hz	8.0 Hz	1次固有振動数
f_2	6.0 Hz	4	24.0 Hz	24.0 Hz	2次固有振動数
D	0.8 m	1 / 16	5.0 cm	4.8 cm	
E	$2.1 \times 10^4 \text{ kgf/cm}^2$	1 / 16	$1.31 \times 10^3 \text{ kgf/cm}^2$	$3.12 \times 10^4 \text{ kgf/cm}^2$	ボリ塩化ビニール
EA	$6.34 \times 10^4 \text{ kgf}$	(1/16) ²	$1.55 \times 10^3 \text{ kgf}$	$1.73 \times 10^4 \text{ kgf}$	$\phi = 48 \text{ mm}$
E1	$4.20 \times 10^4 \text{ kgf/cm}^2$	(1/16) ²	$4.01 \times 10^3 \text{ kgf/cm}^2$	$4.21 \times 10^4 \text{ kgf/cm}^2$	$t = 4 \text{ mm}$
l	10 m	1 / 16	62.5 cm	64 cm	
D	6.0 m	1 / 16	37.5 cm	37.0 cm	ボリ塩化ビニール
l	10 m	1 / 16	62.5 cm	64 cm	$t = 11.2 \text{ mm}$

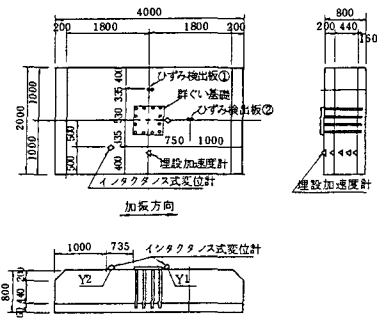


図-1 模型地盤

表-2 地盤の弾性定数

試験名 定数	単位 重量 f (kN/cm^2)	一軸圧縮試験		弾性波速測定		平板載荷試験	
		E_0 (kgf/cm^2)	ϵ (%)	V_S (m/sec)	E_0 (kgf/cm^2)	E_0 (kgf/cm^2)	E_0 (kgf/cm^2)
地盤	1.667	10.43	9.3	20.0	19.1	6.84	21.5
表層	1.667	47.41	7.0	48.9	117.0	28.7	53.4

50, 80 gal の3段階に変化させ正弦波加振実験を行なった。その結果得られた共振曲線を図-3に示す。この時1-チング上には橋脚の重さ分として鉄板4枚(重さ15.2 kgf × 4 = 60.8 kgf)と起振機ベースと起振機(重さ18.1 kgf)を載荷した。この図を見ると、入力加速度が大きくなるに従って、共振振動数が低下していることがわかる。なお、地盤上で測定した共振振動数は図-3のものと一致している。

3.3 起振機加振実験

フーチング上に取り付けた起振機により、強振振動実験を行なった。その結果を図-4に示す。この結果を見ると、フーチング上では2つの共振点が見られる。このうち低、共振振動数は地盤の固有振動数と考えられ、高の方は構造物と地盤系の固有振動数と考えられる。また構造物近傍の地盤の共振曲線を見ると、低、共振振動数は明瞭にあらわれれるが、高の方はあまり顕著にはあらわれない。これは参考文献1の結果と同様である。

4. 実験の解析

4.1 地盤の固有振動数解析

地盤の固有振動数は、地盤がせん断振動をすると考え、次の式程で解析した。

$$\frac{d^2 y_i}{dt^2} = V_{Si}^2 \frac{d^2 y_i}{dx_i^2} \quad (1)$$

ここで、 V_{Si} : 第*i*層のせん断弾性波の伝播速度

y_i : 地盤の水平方向変位

x_i : 地盤の地表面からの深さ

実験結果によれば、入力加速度の増加に伴う、共振振動数が低下している。これは地盤中に生じた歪によくせん断弾性率Gが低下したことによると考えられる。

そこでこの低下を考慮した解析を行なうこととした。表層内では深さ方向に歪の大きさが異なることからGの低下率も異なると考え、表層を3層、基盤層1層の4層で解析した。まず初期値に対してせん断弾性波速度を用い、応答計算を行なった。その結果得られた歪から図-2に示したグラフよりGの低下率を求めた。それより各層の V_{Si} を求め、再び応答計算を行なう。固有振動数と変位振幅を求める。得られた結果を表-3に示す。ただし歪は有効歪にして最大値の0.7倍を用いた。これを見ると表層では最大0.5程度までGが低下している。また、この時の地盤の振動モードおよび歪の一例を図-5に示す。このモードは実験値とかなり良く一致している。

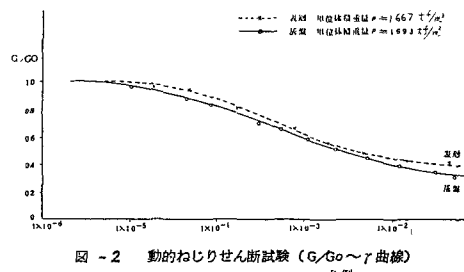


図-2 動的ねじりせん断試験 ($G/G_0 \sim f$ 曲線)
凡例

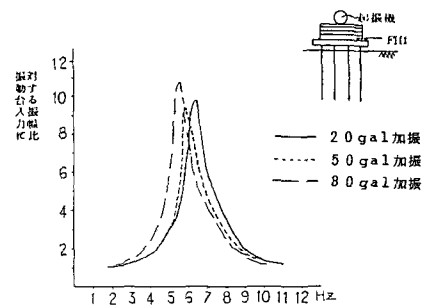


図-3 振動台による正弦波試験(地盤+群ぐい)

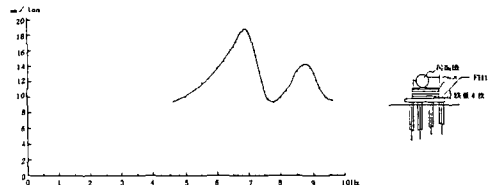


図-4 起振機試験による構造物の共振曲線：測点 F1

表-3 地盤の共振振動数 解析結果

振動入力 (gal)	V_S の初期値 (m/sec)	地盤のひずみ $\times 10^3$	推定 V_S (m/sec)	共振振動数 (Hz) 計算値	実験値
20	20.0	1.909	15.9	6.1	6.4
	48.9	0.636	43.2		
50	20.0	5.278	15.1	5.7	5.9
	48.9	1.744	40.6		
80	20.0	7.709	14.7	5.6	5.5
	48.9	2.547	39.1		

注) 上段は表層(第3層)
下段は基盤

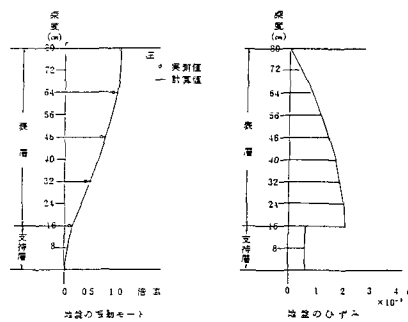


図-5 地盤の振動モード及び地盤のひずみ分布

4.2 多自由度系モデルによる振動実験解析

(1) 振動モデル

3の項述べたように、振動台加振と起振機加振の場合ではその共振曲線の性状が異なる。これを解析するために地盤も質量もばねをもつ系と考え、基礎と地盤の動的相互作用を評価できる振動モデルを作成した。そのモデルを図-6に示す。起振機を含む橋脚く体の部分は剛体とし、水平と回転運動すると仮定した。杭の部分はせり部材と考え、杭と地盤は水平ばねで結合した。地盤の質点は左右の圧縮ばねおよび上下のせん断ばねで支持され、水平のみ動くと仮定した。地盤は縦横に分割し、土の質量は区分した1ブロックの中央に集中させ、ばねはその質点に結合した。

(2) 計算方法

解析は図-6のモデルについて運動方程式を作成し、モード分解法によることとした。そして地盤の振動歪を計算し、その歪に応じて地盤のせん断剛性率を低下させるものとした。計算のフローチャート図を図-7に示す。この場合地盤の歪は4.1と同様有効歪とした。また地盤の歪の評価は、振動台実験の場合は最外縁の地盤質点列、起振機実験の場合は、基礎に一番近い地盤質点間の相対変位に応じて剛性低下率を決定し、その層内では一定とした。

(3) 計算に用いる諸定数の算出

土のはね定数は式により算出した。ただし記号は図-6に示したものを使いた。杭と地盤間のはねを $k_i = \frac{1}{4} E_i D S_i / C$ 、地盤の質点間のはね $k_{ij} = 2 E_i D S_i / C$ 、地盤の質点間のせん断ばね $f_i = 2 G_i b C / S_i$ （ただし最小端の f_i のみ $f_i = 4 G_i b C / S_i$ ）、ここで E_i : 地盤の変形係数、 G_i : 地盤のせん断弾性係数、 D : 構造物の幅、 S_i 、 C : 地盤を分割したときの縦、横の長さ、 b : 地盤の幅である。また群杭の曲げ剛性は、本当に曲げ剛性の本数倍とし、群杭の広がりの効果は杭頭部の回転ばねを考慮することとした。なお、回転ばねは群杭の鉛直載荷試験より求めた。地盤の分割長は縦16cm、横40cmとした。また減衰定数は1次固有振動数から2%は実験で得られたものを用いた。

(4) 計算結果

a) 起振機加振実験

計算結果を図-8に示す。実験では2つの共振点があらわれており、計算でも2つのピークがある。しかし、1次の共振点はうまく合っているものの、2次の共振点は計算値の方が高くなる。なお地盤は塑性化しなかった。図-9に固有モードを示す。

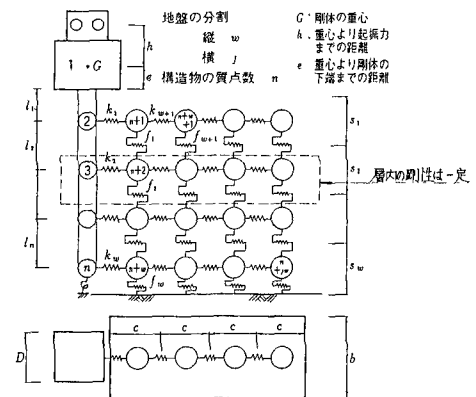


図-6 振動モデル

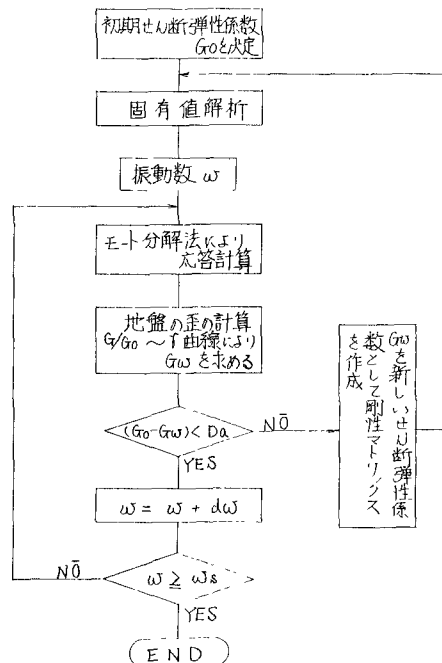


図-7 解析フローチャート

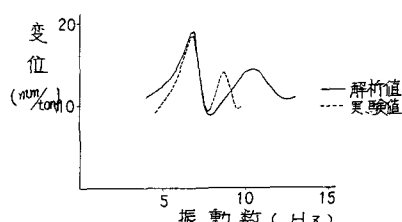


図-8 共振曲線(起振機加振)

b) 振動台加振実験

振動台加振実験の解析結果を図-10に示す。この図には振動台入力 20, 50, 80 gal の場合を示した。なお 80 gal の場合には、最大歪が生じたときの地盤のせん断剛性係数の低下率も示した。これを見ると最大低下率は表層で 0.48 となり、おり、4・1 で述べた地盤の解析の場合とかなりよく合っている。また振動数では初期の 6.57 Hz から 6.66 Hz まで低下している。またこの最大塑性時のモードを図-11に示す。これを見ると図-9の起振機加振の場合とあまり変化していない。また 2 次モードについてもあまり変化はなかった。この共振曲線には示してないが、10 Hz 以上計算しても振動台加振の場合は 2 次のピークがあらわれない。この理由は 2 次モードは地盤の固有振動数であり、地盤と構造物が同一方向に振動している。しかし 2 次モードでは構造物近傍の地盤は構造物と同じ方向に動くが、遠い地盤は逆位相で動くモードとなる。従って 1 点に載荷する起振機加振の場合は、この 2 次モードは共振点としてあらわれるが、全質点に慣性力のかかる振動台加振では、逆位相で振動する部分が力が打ち消しあり、2 次共振点としてあらわに行かなかったものと推定される。

5. おわりに

以上地盤の歪依存性に着目して実験および解析結果を述べた。振動実験のシミュレーションの結果、振動台の入力加速度の増加に伴なって共振振動数が低下する現象は、振動によつて地盤中に生じた歪により地盤のせん断剛性率が低下すると考えた方法とかなりうまく説明できたと考えられる。しかし、起振機加振の場合の 2 次の共振点が合わない事など未だ研究すべきことが多い。そこで今後はこのモデルの数値の取扱いなどを検討するとともに、水平載荷試験と振動試験による杭の応力や地盤と杭の間のはね定数の違いや、さらに振動台加振実験では正弦波ばかりではなく実地震波を入力とした加振も行なうものと、これらについても解析を行なう予定である。

この研究は、国鉄の技術課題「鉄道地震対策の研究」委員会(委員長 国本舜三(東京大学名誉教授))の第3分科会で行なつたもので、御指導を頂いた分科会委員の方々および実験を担当された K.K. 福山コンサルタントの皆様に厚く御礼申し上げます。

(参考文献)

- 1) 西村、高橋；模型軟弱地盤中の基礎の振動実験；第16回地震工学研究発表会

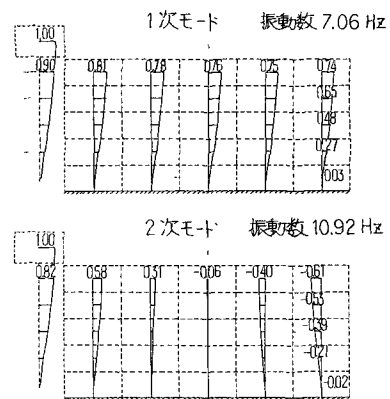


図-9 振動モード(起振機加振)

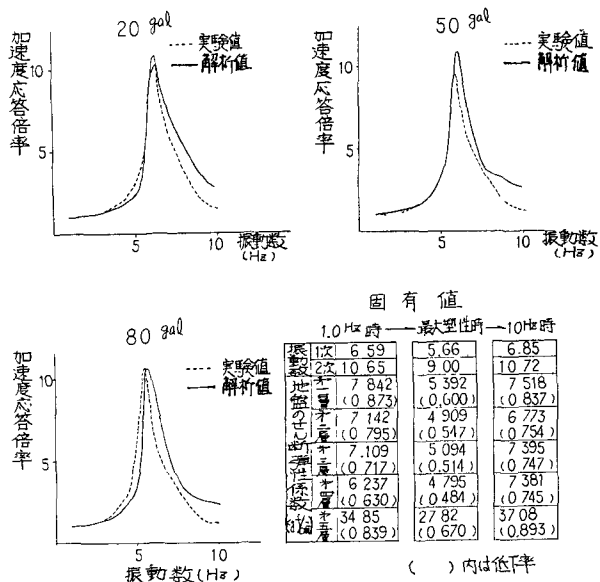


図-10 共振曲線(振動台加振)

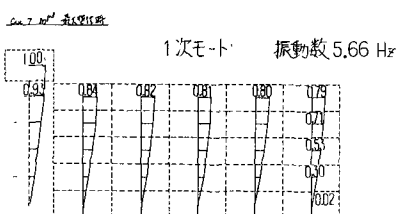


図-11 振動モード(振動台加振)